

## PID 제어기의 자동 계수 조정에 관한 연구

박 종 현      김 경 기  
한양 대학교      전자 공학과

A study on the parameter self adjusting  
method of the PID controller

\* Jong-Hyun Park, Kyung-Gi Kim  
Dept. of Electronic Eng. of Hanyang Univ.

The characteristic of a control system  
is apt to be changed by environment and  
load condition.

This paper treats the algorithm for  
getting more optimal parameter by it-  
self in PID control system with micro-  
processor.

## 1. 서 론

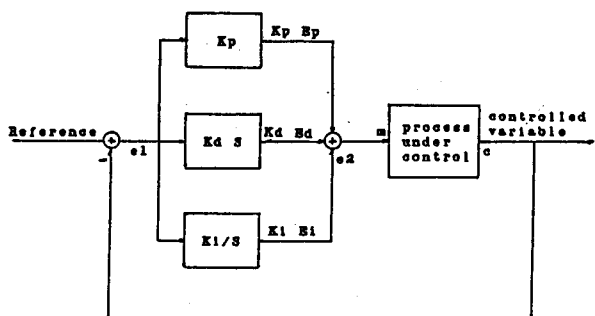
공정제어산업에서 컴퓨터 제어 기술은 날로 그 이용  
도가 증가하고 있다. 컴퓨터 제어는 하나의 프로세  
서가 여러개의 제어을 한꺼번에 처리하고 서로의 관련  
처리가 가능하기 때문에 많은 잇점이 있다. 이와  
더불어 똑같은 기기로 제어과정을 프로그램만을 변경  
함으로 자유로이 변경할 수 있기 때문에 그 측정점의  
값을 찾기 쉽다. 수년동안 이러한 프로세스에 PID  
제어기가 유용 되어 왔다. [3, 4, 5]

이러한 PID 제어기는 선형제어 와는 다른 성질을  
나타 내며 쟁률링 시간에 따라 전체 제어계의 제어  
특성이 변화하게 된다. 또 제어대상계의 정확한 특성  
파악은 사실상 어려운 것이며 이 특성 또한 주위환경,  
부하 변동등의 원인에 의하여 많은 변화를 나타낸다.  
그러므로 실제 응용에서는 최적 계수값을 실험을 통  
하여 얻게되는 경우가 많다. [2]

본 논문에서는 특성을 정확히 알 수 없는 임의의  
시스템에 PID 제어기를 적용하여 평가함수가 최소가  
되는 계수로 접근해가는 알고리즘을 제시하고 이의  
시뮬레이션을 하였다.

## 2. PID 제어기

PID 제어기는 제어계에 비례(Proportional), 적분  
(Integral), 미분(Derivative) 제어를 가하는  
것으로 <그림1>과 같은 구조으로 되어있다. [5]



&lt;그림1&gt; PID 제어기

&lt;Fig1&gt; PID control loop

<그림1>의 PID 제어기를 마이크로 프로세서로 구성  
하였을 경우 출력 e2를 Discrete Time 형태로 표현  
하면,

$$e2(k) = K_p E_p(k) + K_i E_i(k) + K_d E_d(k) \quad (1)$$

단)

$$E_p(k) = e_1(k)$$

$$E_i(k) = E_i(k-1) + T e_1(k)$$

$$E_d(k) = [e_1(k) - e_1(k-1)] / T$$

이를 Direct Programming법을 이용하여 State Model로 표현하면 [5]

$$\begin{vmatrix} x_1(k+1) \\ x_d(k+1) \end{vmatrix} = \begin{vmatrix} 1 & 0 \\ 0 & 0 \end{vmatrix} \begin{vmatrix} x_1(k) \\ x_d(k) \end{vmatrix} + \begin{vmatrix} 1 \\ 1 \end{vmatrix} e_1(k) \quad \dots (2)$$

$$e_2(k) = [K_1 T - K_d/T] \begin{vmatrix} x_1(k) \\ x_d(k) \end{vmatrix} + [K_p + K_1 T + K_d/T] e_1(k) \quad \dots (3)$$

### 3. PID 제어기의 최적화 알고리즘

최소평차제어를 위한 평가함수를

$$J = \int_0^{T_f} |e| dt \quad \dots (4)$$

이와 정의하면 이의 Discrete form은

$$J(kT) = \sum_{n=0}^{k-1} |e(n)T| \quad \dots (5)$$

이라고 할 수 있다.

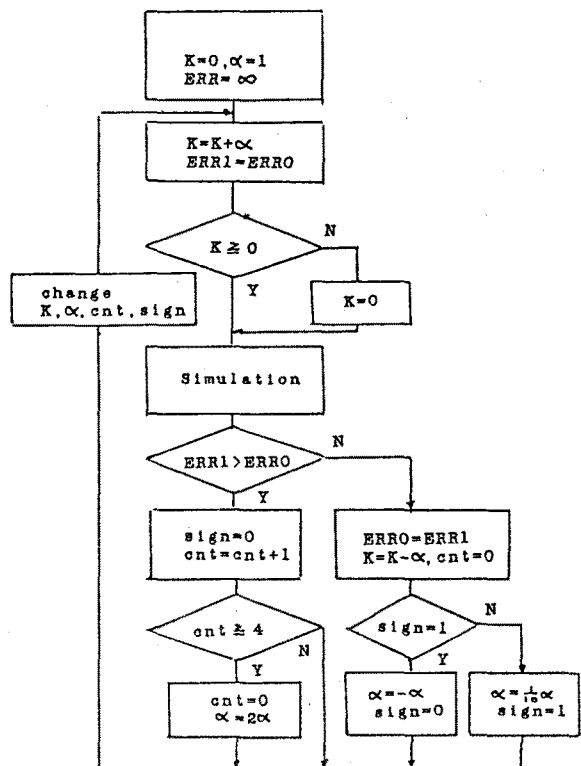
이 평가함수  $J(kT)$ 의 값이 최소가 되도록 step 입력을 제어 계에 가하고  $K_p, K_1, K_d$ 의 값을 결정해 나간다. 이때의  $K_p, K_1, K_d$ 의 값은 일정한 논리법칙에 의해 결정하고 이의 Simulation 후 평가지수의 값이 이전보다 작아지면 그 값을 선정하고 보다 커지면 다른값을 찾는다. 초기 계수는  $K_p=0, K_1=0, K_d=0$ 에서 시작 하며 이의 누적 error범위 내에서 각 계수를 선정하기 때문에 자기발진이 없다면 선정된 계수에 대한 System은 항상 안정하다.

<그림2>에 계수 자동 조정 Algorithm에 대한 flowchart 를 표시하였다. 여기서는 선택된 계수의 종분이고 sign, cnt는 각 Flow에 대한 Flag 및 Count이다.

### 4. SIMULATION

계수 자동 조정 알고리즘의 Simulation 을 위하여 다음의 전달함수를 갖는 System을 Test model로 채용 하였다.

$$G(s) = \frac{1}{20s + 12s + 1} \quad \dots (6)$$



<그림2> 계수 자동 조정 FLOWCHART

<Fig2> Flowchart of the Parameter Self Adjusting

이의 Matrix form은

$$\begin{vmatrix} x_1 \\ x_2 \end{vmatrix} = \begin{vmatrix} 0 & 1 \\ -1/20 & -3/5 \end{vmatrix} \begin{vmatrix} x_1 \\ x_2 \end{vmatrix} + \begin{vmatrix} 0 \\ 1/20 \end{vmatrix} m(t) \quad \dots (7)$$

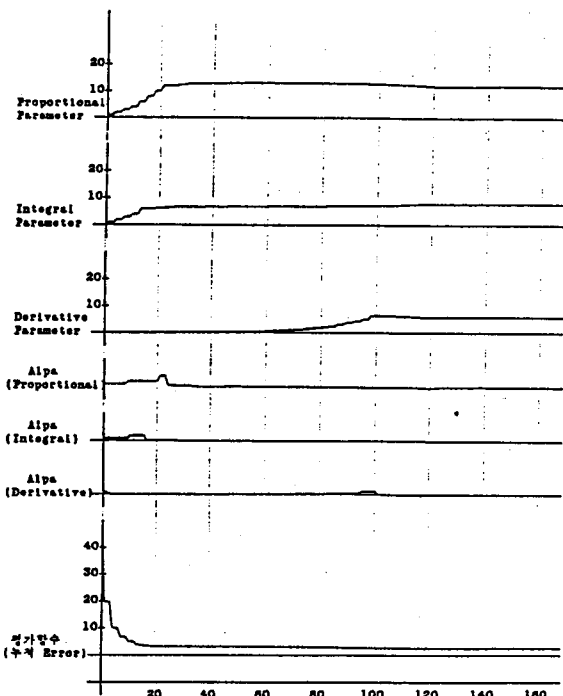
$$c(t) = x_1 \quad \dots (8)$$

이를 Computer program을 위하여 Time-domain 의 Transition matrix를 구하면 다음과 같이된다.

$$\begin{vmatrix} x_1(k+1) \\ x_2(k+1) \end{vmatrix} = \begin{vmatrix} 5/4 \bar{e}^{-T/2} & -1/4 \bar{e}^{-T/10} & 5/2 \bar{e}^{-T/2} & -5/2 \bar{e}^{-T/10} \\ -1/8 \bar{e}^{-T/2} & +1/8 \bar{e}^{-T/10} & -1/4 \bar{e}^{-T/2} & -5/4 \bar{e}^{-T/10} \end{vmatrix} \begin{vmatrix} x_1(k) \\ x_2(k) \end{vmatrix} + \begin{vmatrix} 1/20 & -1/10 \bar{e}^{-T/2} & +1/80 \bar{e}^{-T/10} \\ 1/160 \bar{e}^{-T/2} & -1/160 \bar{e}^{-T/10} \end{vmatrix} m(k) \quad \dots (9)$$

$$c(k) = x_1(k) \quad \dots (10)$$

Simulation 방법은 먼저 Reference 값과 제어된 값  $c(k)$ 과의 차 (error)를 계산하고 이를 (2), (3)식에 대입하여  $e_2(k)$ 를 구한다. 이값을 (9)식의  $m(k)$  값으로 하고 (9)식에 의해  $c(k)$ 을 구한다. 이 과정을 Simulation 기간동안 Sampling time에 맞춰 반복한다. 본 논문에서의 Sampling time은 1[sec]로 하였다.



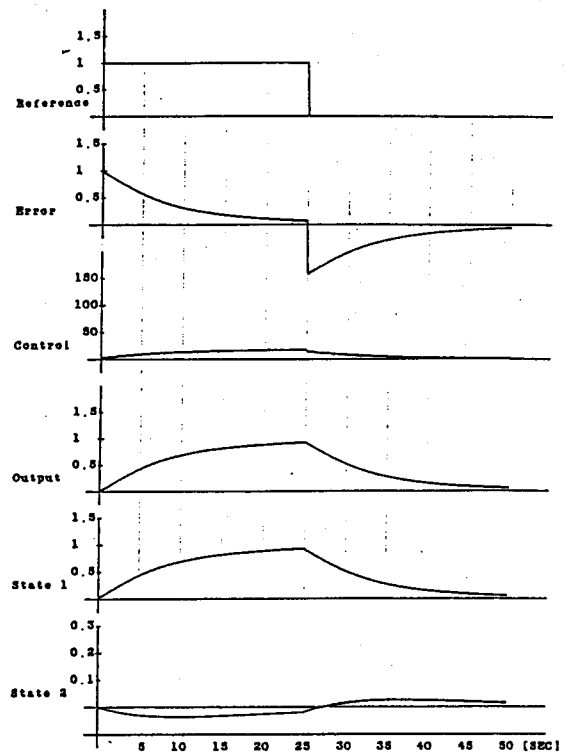
〈그림3〉 SIMULATION에 따른 각 계수의 변화  
〈Fig3〉 The variations of each parameter by simulation

〈그림3〉에 Simulation의 반복횟수에 따른 각 계수( $K_p, K_i, K_d$ )의 변화를 나타냈고 각 계수의 증분 Alpa를 표시하였다. 〈그림3〉에서 보인 것과 같이 평가 함수  $J(kT)$ 의 값은 반복 횟수에 따라 점차 감소하여 일정한 값에 이른다. 이때 평가함수의 감소는 처음 급격히 감소 하다가 조금씩 감소되는데 대상 System에 따라 감소형태는 달라 진다.

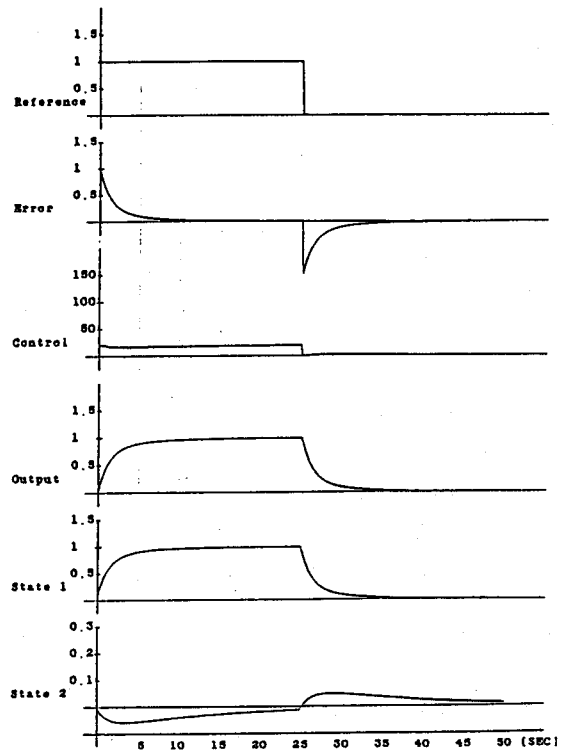
〈그림4〉, 〈그림5〉, 〈그림6〉에 각 시뮬레이션에서의 STEP 입력에 대한 출력 특성을 나타냈다. 이때 적용된 각 계수의 값과 평가함수는 다음과 같다.

〈그림4〉 6 번째 SIMULATION 후

$$K_p = 2, \quad K_i = 2, \quad K_d = 0 \\ J = 19.983$$



〈그림4〉 STEP 입력에 대한 응답  
〈Fig4〉 Response to step input



〈그림5〉 STEP 입력에 대한 응답

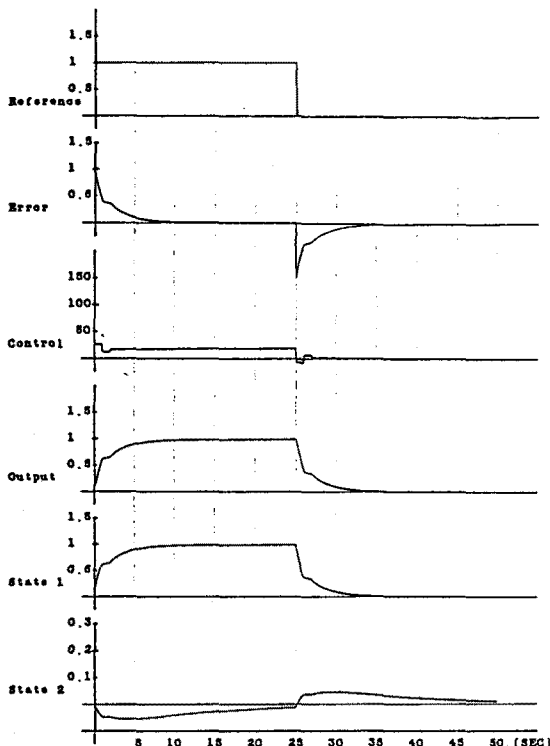
〈Fig5〉 Response to step input

&lt;그림5&gt; 50 번째 SIMULATION 후

$$\begin{aligned} K_p &= 13.04, K_i = 6.8, K_d = 0.36 \\ J &= 6.586 \end{aligned}$$

&lt;그림6&gt; 100 번째 SIMULATION 후

$$\begin{aligned} K_p &= 12.7, K_i = 7.25, K_d = 6.36 \\ J &= 5.592 \end{aligned}$$



&lt;그림6&gt; STEP 입력에 대한 응답

&lt;Fig6&gt; Response to step input

## 5. 결 론

종래의 PID Controller의 Parameter 조정법은 외란에 대한 응답시간 최소 및 목표치 변화에 대한 응답시간 최소에 초점을 두고 결정하는 방법인데 반해 본 논문에서는 평가함수를 도입하여 평가 함수에 따른 Optimize 한 Parameter로 조정하는 방식이다.

수학적 계산에 의한 결정법은 대상 System의 정밀한 분석이 요구되어 지며 실험을 통하여 다시 조정하지 않으면 안된다. 본 논문에서 제안한 방법은 대상 System의 정밀한 분석없이 적용할 수 있고 이러한 Algorithm을 Controller에 내장함으로 수시로 Optimize한 값을 구할 수 있다.

앞으로 실제 실험을 통하여 적용정도 분석 및 보다 나은 Algorithm의 연구가 요구된다.

## 참고 문헌

1. PETER J. GAWTHROP "Self-tuning PID Controllers : Algorithms and Implementation" IEEE Trans. on Automatic control vol AC-31 March 1986
2. CHARLES L. PHILLIPS, JOHN M. PARR "Robust Design of a Digital PID Predictor Controller" IEEE Trans. on Industrial Electronics vol IE-31 No 4 November 1984
3. TAKESHI TSUCHIYA "Improved Direct Digital Control Algorithm for Microprocessor Implementation" IEEE Trans. on Automatic Control vol AC-27 No 2. April 1982.
4. Stanley M. Shinners "Modern Control System Theory and Application" (Book) pp 76 ~ 79, 1979.
5. JAMES A. CADZOW HINRICH R. MARTENS "Discrete-time and Computer Control System" (Book) pp 100 ~ 107 1970.
6. Karl J. Astrom Bjorn Wittenmark "Computer Controlled System : Theory and Design" (Book) pp 100 ~ 193.
7. PLEXUS "Sys3 UNIX Programmer's Manual" (Book) vol 1, vol 2.
8. A-TECH "ATLAS-9X Programmer's Manual" (Book) 1987.